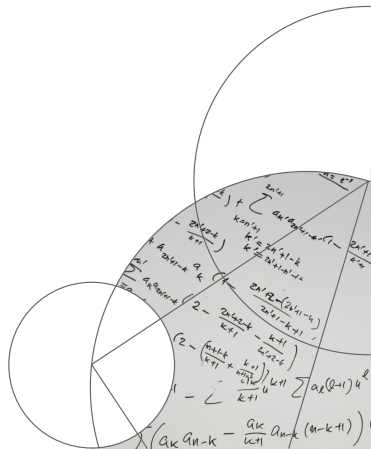




Discrétisation spectrale d'un modèle de Naghdi pour une coque mince peu régulière

Lamjed Lounissi
Laboratoire Jacques-Louis Lions



Discrétisation spectrale d'un
modèle de Naghdi pour une
coque mince peu
régulière

Lamjed Lounissi

- Soit ω un domaine lipschitzien de \mathbb{R}^2
- La surface moyenne de la coque : $S = \varphi(\bar{\omega})$, où $\varphi \in W^{2,\infty}(\omega, \mathbb{R}^3)$.
- les vecteurs :

$$a_1 = \partial_1 \varphi, \quad a_2 = \partial_2 \varphi$$

sont linéairement indépendants en tout point de $\bar{\omega}$. On définit le vecteur normal unitaire

$$a_3 = \frac{a_1 \wedge a_2}{|a_1 \wedge a_2|}$$

à la surface au point $\varphi(x, y)$.

Présentation du modèle

Préliminaires géométriques

Problème continu

Premier problème variationnel

Existence et unicité

Problème variationnel mixte

Discrétisation par la méthode
spectrale

Outils de la discrétisation

Le problème discret

Mise en œuvre de la
discrétisation

Système matriciel

Résultats numériques

Discrétisation par éléments
spectraux

Notations

Le problème discret

Résultat d'existence et d'unicité

Estimation d'erreur

Conclusions et perspectives

Discrétisation spectrale d'un
modèle de Naghdi pour une
coque mince peu
régulière

Lamjed Lounissi

Présentation du modèle

Preliminaires géométriques

Problème continu

Premier problème variationnel

Existence et unicité

Problème variationnel mixte

Discrétisation par la méthode
spectrale

Outils de la discrétisation

Le problème discret

Mise en œuvre de la
discrétisation

Système matriciel

Résultats numériques

Discrétisation par éléments
spectraux

Notations

Le problème discret

Résultat d'existence et d'unicité

Estimation d'erreur

Conclusions et perspectives

- Les vecteurs a_i définissent une base covariante au point $\varphi(x, y)$ et appartiennent à $W^{1,\infty}(\omega, \mathbb{R}^3)$
- On note $a(x, y) = |a_1(x, y) \wedge a_2(x, y)|$
- On définit la première et la deuxième forme fondamentale de la surface moyenne par leurs composantes covariantes :

$$a_{\alpha\beta} = a_\alpha \cdot a_\beta$$

et

$$b_{\alpha\beta} = a_\alpha \cdot \partial_\beta a_\alpha$$

Discrétisation spectrale d'un
modèle de Naghdi pour une
coque mince peu
régulière

Lamjed Lounissi

Présentation du modèle

Préliminaires géométriques

Problème continu

Premier problème variationnel

Existence et unicité

Problème variationnel mixte

Discrétisation par la méthode
spectrale

Outils de la discrétisation

Le problème discret

Mise en œuvre de la
discrétisation

Système matriciel

Résultats numériques

Discrétisation par éléments
spectraux

Notations

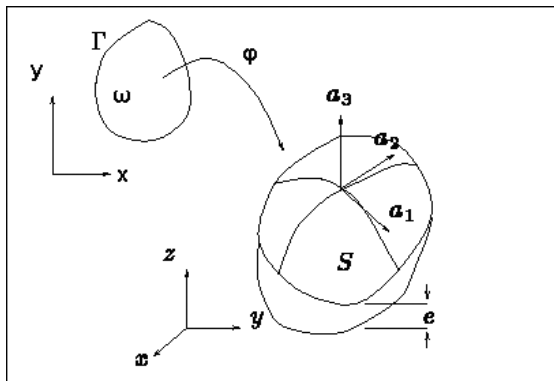
Le problème discret

Résultat d'existence et d'unicité

Estimation d'erreur

Conclusions et perspectives

FIGURE: La surface moyenne de la coque



Discretisation spectrale d'un
modèle de Naghdi pour une
coque mince peu
régulière

Lamjed Lounissi

Présentation du modèle

Préliminaires géométriques

Problème continu

Premier problème variationnel

Existence et unicité

Problème variationnel mixte

Discretisation par la méthode
spectrale

Outils de la discrétisation

Le problème discret

Mise en œuvre de la
discrétisation

Système matriciel

Résultats numériques

Discretisation par éléments
spectraux

Notations

Le problème discret

Résultat d'existence et d'unicité

Estimation d'erreur

Conclusions et perspectives

Notations

- $u = u_i a^i = u_i^c e_i$ un déplacement de la surface moyenne de la coque appartenant à $H^1(\omega)^3$
- $r = r_\alpha a^\alpha$ une rotation autour de la normale a_3 qui est bien sûr tangente à la surface moyenne de la coque.
- Le tenseur d'élasticité de la surface moyenne de la coque :

$$a^{\alpha\beta\rho\sigma} = \frac{E}{2(1+\nu)} (a^{\alpha\rho} a^{\beta\sigma} + a^{\alpha\sigma} a^{\beta\rho}) + \frac{E\nu}{1-\nu^2} a^{\alpha\beta} a^{\rho\sigma}.$$

où $a^{\alpha\beta\rho\sigma} \in L^\infty(\omega)$ et dans le cas d'un matériau homogène et isotrope de module de Young $E > 0$ et de coefficient de Poisson ν , $0 \leq \nu < \frac{1}{2}$

Discrétisation spectrale d'un
modèle de Naghdi pour une
coque mince peu
régulière

Lamjed Lounissi

Présentation du modèle

Préliminaires géométriques

Problème continu

Premier problème variationnel

Existence et unicité

Problème variationnel mixte

Discrétisation par la méthode
spectrale

Outils de la discrétisation

Le problème discret

Mise en œuvre de la
discrétisation

Système matriciel

Résultats numériques

Discrétisation par éléments
spectraux

Notations

Le problème discret

Résultat d'existence et d'unicité

Estimation d'erreur

Conclusions et perspectives

Notations

- Le tenseur de déformation de la surface moyenne de la coque :

$$\gamma_{\alpha\beta}(u) = \frac{1}{2}(\partial_{\alpha}u \cdot a_{\beta} + \partial_{\beta}u \cdot a_{\alpha})$$

- Le tenseur de changement de courbure de la surface moyenne de la coque :

$$\chi_{\alpha\beta}(u, r) = \frac{1}{2}(\partial_{\alpha}u \cdot \partial_{\beta}a_3 + \partial_{\beta}u \cdot \partial_{\alpha}a_3 + \partial_{\alpha}r \cdot a_{\beta} + \partial_{\beta}r \cdot a_{\alpha})$$

- Le tenseur de déformation de cisaillement transverse de la surface moyenne :

$$\delta_{\alpha 3}(u, r) = \frac{1}{2}(\partial_{\alpha}u \cdot a_3 + r \cdot a_{\alpha})$$

Discretisation spectrale d'un
modèle de Naghdi pour une
coque mince peu
régulière

Lamjed Lounissi

Présentation du modèle
Preliminaires géométriques

Problème continu

Premier problème variationnel
Existence et unicité
Problème variationnel mixte

Discretisation par la méthode
spectrale

Outils de la discrétisation
Le problème discret

Mise en œuvre de la
discrétisation

Système matriciel
Résultats numériques

Discretisation par éléments
spectraux

Notations
Le problème discret
Résultat d'existence et d'unicité
Estimation d'erreur

Conclusions et perspectives

Formulation variationnelle

Conditions aux bord

le bord $\partial\omega$ est divisé en deux parties, γ_0 sur laquelle la coque est encastrée et $\gamma_1 = \partial\omega \setminus \gamma_0$ sur laquelle la coque est soumise à des forces extérieures.

Espaces

- $H_{\gamma_0}^1(\omega) = \{\mu \in H^1(\omega); \mu = 0 \text{ sur } \gamma_0\}.$
- $\mathbb{V}(\omega) = \{(v, s) \in H_{\gamma_0}^1(\omega)^3 \times H_{\gamma_0}^1(\omega)^3; s \cdot a_3 = 0 \text{ sur } \omega\}$

La norme

$$\|(v, s)\|_{\mathbb{V}(\omega)} = \left(\|v\|_{H_{\gamma_0}^1(\omega)^3}^2 + \|s\|_{H_{\gamma_0}^1(\omega)^3}^2 \right)^{\frac{1}{2}}.$$

Discrétisation spectrale d'un
modèle de Naghdi pour une
coque mince peu
régulière

Lamjed Lounissi

Présentation du modèle
Préliminaires géométriques

Problème continu

Premier problème variationnel
Existence et unicité
Problème variationnel mixte

Discrétisation par la méthode
spectrale

Outils de la discrétisation
Le problème discret

Mise en œuvre de la
discrétisation

Système matriciel
Résultats numériques

Discrétisation par éléments
spectraux

Notations
Le problème discret
Résultat d'existence et d'unicité
Estimation d'erreur

Conclusions et perspectives

Problème variationnel

Trouver $(u, r) \in \mathbb{V}(\omega)$ tel que

$$a((u, r); (v, s)) = \mathcal{L}((v, s)),$$

Forme bilinéaire

$$a((u, r); (v, s)) =$$

$$\int_{\omega} \left\{ e a^{\alpha\beta\rho\sigma} \left[\gamma_{\alpha\beta}(u) \gamma_{\rho\sigma}(v) + \frac{e^2}{12} \chi_{\alpha\beta}(u, r) \chi_{\rho\sigma}(v, s) \right] \right. \\ \left. + 2e \frac{E}{1 + \nu} a^{\alpha\beta} \delta_{\alpha 3}(u, r) \delta_{\beta 3}(v, s) \right\} \sqrt{a} \, dx$$

Discrétisation spectrale d'un
modèle de Naghdi pour une
coque mince peu
régulière

Lamjed Lounissi

Présentation du modèle
Préliminaires géométriques

Problème continu

Premier problème variationnel
Existence et unicité
Problème variationnel mixte

Discrétisation par la méthode
spectrale

Outils de la discrétisation
Le problème discret

Mise en œuvre de la
discrétisation

Système matriciel
Résultats numériques

Discrétisation par éléments
spectraux

Notations
Le problème discret
Résultat d'existence et d'unicité
Estimation d'erreur

Conclusions et perspectives

La forme linéaire $\mathcal{L}(\cdot)$ est donnée par

$$\mathcal{L}((v, s)) = \int_{\omega} f \cdot v \sqrt{a} \, dx + \int_{\gamma_1} (N \cdot v + Ms) \, d\tau \quad (1)$$

Discrétisation spectrale d'un
modèle de Naghdi pour une
coque mince peu
régulière

Lamjed Lounissi

Présentation du modèle
Préliminaires géométriques

Problème continu

Premier problème variationnel

Existence et unicité

Problème variationnel mixte

Discrétisation par la méthode
spectrale

Outils de la discrétisation

Le problème discret

Mise en œuvre de la
discrétisation

Système matriciel

Résultats numériques

Discrétisation par éléments
spectraux

Notations

Le problème discret

Résultat d'existence et d'unicité

Estimation d'erreur

Conclusions et perspectives

Existence et unicité de la solution

Idée de la démonstration

- Vérifier les hypothèses de Lax-Milgram.
- La continuité est clair.
- Il suffit de montrer la V-ellipticité de la forme bilinéaire :

Lemme

$$\forall (v, s) \in \mathbb{V}(\omega), \quad a((v, s), (v, s)) \geq ce^3 |(v, s)|^2.$$

$$\text{où } |(v, s)| = \left(\sum_{\alpha=1}^2 \sum_{\beta=1}^2 \|\gamma_{\alpha\beta}(v)\|_{L^2(\omega)}^2 + \sum_{\alpha=1}^2 \sum_{\beta=1}^2 \|\chi_{\alpha\beta}(v, s)\|_{L^2(\omega)}^2 + \sum_{\alpha=1}^2 \|\delta_{\alpha 3}(v, s)\|_{L^2(\omega)}^2 \right)^{\frac{1}{2}}$$

Discretisation spectrale d'un
modèle de Naghdi pour une
coque mince peu
régulière

Lamjed Lounissi

Existence et unicité

Le lemme du mouvement rigide

Soient $u \in H^1(\omega; \mathbb{R}^3)$ et $r \in H^1(\omega; \mathbb{R}^3)$ tel que $r \cdot a_3 = 0$. Soit $\varphi \in W^{2,\infty}(\omega; \mathbb{R}^3)$.

i) On suppose que $\gamma_{\alpha\beta}^N(u) = 0$ alors il existe un unique

$\psi \in L^2(\omega; \mathbb{R}^3)$ tel que $\partial_\alpha u = \psi \wedge \partial_\alpha \varphi$

ii) Si $\delta_{\alpha 3}^N(u, r) = 0$ alors $\partial_\alpha u \cdot a_3 = -r \cdot a_\alpha$ appartient à $H^1(\omega)$. De plus $r \cdot a_\alpha = -\varepsilon_{\alpha\beta} \psi \cdot a^\beta$.

iii) Si de plus, $\chi_{\alpha\beta}^N(u, r) = 0$, alors ψ s'identifie à un vecteur constant de \mathbb{R}^3 et l'on a

$$u(x, y) = c + \psi \wedge \varphi(x, y)$$

où c est un vecteur constant de \mathbb{R}^3 et

$$r(x, y) = -(\varepsilon_{\alpha\beta}(x, y) \psi \cdot a^\beta(x, y)) a^\alpha(x, y)$$

Présentation du modèle

Preliminaires géométriques

Problème continu

Premier problème variationnel

Existence et unicité

Problème variationnel mixte

Discretisation par la méthode
spectrale

Outils de la discrétisation

Le problème discret

Mise en œuvre de la
discrétisation

Système matriciel

Résultats numériques

Discretisation par éléments
spectraux

Notations

Le problème discret

Résultat d'existence et d'unicité

Estimation d'erreur

Conclusions et perspectives

Discretisation spectrale d'un
modèle de Naghdi pour une
coque mince peu
régulière

Lamjed Lounissi

Présentation du modèle

Préliminaires géométriques

Problème continu

Premier problème variationnel

Existence et unicité

Problème variationnel mixte

Discretisation par la méthode
spectrale

Outils de la discrétisation

Le problème discret

Mise en œuvre de la
discrétisation

Système matriciel

Résultats numériques

Discretisation par éléments
spectraux

Notations

Le problème discret

Résultat d'existence et d'unicité

Estimation d'erreur

Conclusions et perspectives

Existence et unicité

Théorème d'existence d'unicité (A. Blouza et H. Le dret)

Pour tout $(f, M, N) \in H_{\gamma_0}^1(\omega)^{3'} \times H_{00}^{\frac{1}{2}}(\gamma_1)^{3'} \times H_{00}^{\frac{1}{2}}(\gamma_1)^{3'}$, le premier problème variationnel admet une solution unique $(u, r) \in \mathbb{V}(\omega)$. De plus, cette solution vérifie

$$\|(u, r)\|_{\mathbb{V}(\omega)} \leq c e^{-3} \|\mathcal{L}\|. \quad (2)$$

$$H_{00}^{\frac{1}{2}}(\gamma_1) = \{u \in H^{\frac{1}{2}}(\gamma_1) / u_0 / \partial\omega \in H^{\frac{1}{2}}(\partial\omega)\}$$

Discrétisation spectrale d'un
modèle de Naghdi pour une
coque mince peu
régulière

Lamjed Lounissi

Problème variationnel mixte

Difficultés

- Problème avec la contrainte tangentielle $s.a_3 = 0$ qui est difficile à implémenter.
- L'idée consiste à traiter cette contrainte par l'introduction d'un multiplicateur de Lagrange λ pour imposer à $s.a_3 = 0$ de s'annuler.
- En vu de la discrétisation, il est également important d'ajouter un terme de stabilisation à $a(.,.)$

Présentation du modèle
Préliminaires géométriques

Problème continu

Premier problème variationnel
Existence et unicité

Problème variationnel mixte

Discrétisation par la méthode
spectrale

Outils de la discrétisation
Le problème discret

Mise en œuvre de la
discrétisation

Système matriciel
Résultats numériques

Discrétisation par éléments
spectraux

Notations
Le problème discret
Résultat d'existence et d'unicité
Estimation d'erreur

Conclusions et perspectives

Discrétisation spectrale d'un
modèle de Naghdi pour une
coque mince peu
régulière

Lamjed Lounissi

Présentation du modèle

Préliminaires géométriques

Problème continu

Premier problème variationnel

Existence et unicité

Problème variationnel mixte

Discrétisation par la méthode
spectrale

Outils de la discrétisation

Le problème discret

Mise en œuvre de la
discrétisation

Système matriciel

Résultats numériques

Discrétisation par éléments
spectraux

Notations

Le problème discret

Résultat d'existence et d'unicité

Estimation d'erreur

Conclusions et perspectives

Formulation variationnelle mixte

Espace et norme

On introduit l'espace des fonctions suivant

$$\mathbb{X}(\omega) = H_{\gamma_0}^1(\omega)^3 \times H_{\gamma_0}^1(\omega)^3$$

muni de la norme

$$\|(v, s)\|_{\mathbb{X}(\omega)} = (\|v\|_{H^1(\omega)^3}^2 + \|s\|_{H^1(\omega)^3}^2)^{\frac{1}{2}}$$

soit $\mathbb{M}(\omega) = H_{\gamma_0}^1(\omega)$.

On pose $U = (u, r)$ et $V = (v, s)$

Discrétisation spectrale d'un
modèle de Naghdi pour une
coque mince peu
régulière

Lamjed Lounissi

Formulation variationnelle mixte

Problème variationnel mixte

$$\begin{cases} \forall V \in \mathbb{X}(\omega), & a(U, V) + \eta \tilde{a}(U, V) + b(V, \psi) = \mathcal{L}(V) \\ \forall \chi \in \mathbb{M}(\omega), & b(U, \chi) = 0 \end{cases} \quad (3)$$

où η est un paramètre positif.

Formes bilinéaires supplémentaires

- $\tilde{a}(U, V) = \int_{\omega} \partial_{\alpha}(r.a_3) \partial_{\alpha}(s.a_3) dx$
- $b(V, \chi) = \int \partial_{\alpha}(s.a_3) \partial_{\alpha} \chi dx$

Présentation du modèle

Préliminaires géométriques

Problème continu

Premier problème variationnel

Existence et unicité

Problème variationnel mixte

Discrétisation par la méthode
spectrale

Outils de la discrétisation

Le problème discret

Mise en œuvre de la
discrétisation

Système matriciel

Résultats numériques

Discrétisation par éléments
spectraux

Notations

Le problème discret

Résultat d'existence et d'unicité

Estimation d'erreur

Conclusions et perspectives

Discrétisation spectrale d'un
modèle de Naghdi pour une
coque mince peu
régulière

Lamjed Lounissi

Présentation du modèle
Préliminaires géométriques

Problème continu

Premier problème variationnel
Existence et unicité

Problème variationnel mixte

Discrétisation par la méthode
spectrale

Outils de la discrétisation
Le problème discret

Mise en œuvre de la
discrétisation

Système matriciel
Résultats numériques

Discrétisation par éléments
spectraux

Notations
Le problème discret
Résultat d'existence et d'unicité
Estimation d'erreur

Conclusions et perspectives

Existence et unicité

Idée de la démonstration :

Propriété d'ellipticité

$$\forall V \in \mathbb{X}(\omega), \quad a(V, V) + \eta \tilde{a}(V, V) \geq c_* \min\{e^3, \eta\} \|V\|_{\mathbb{X}(\omega)}^2$$

Condition inf-sup

$$\forall \chi \in \mathbb{M}(\omega), \quad \sup_{V \in \mathbb{X}(\omega)} \frac{b(V, \chi)}{\|V\|_{\mathbb{X}(\omega)}} \geq c_{\#} \|\chi\|_{H^1(\omega)}$$

$$\text{Pour } V = (0, \chi a_3)$$

Discrétisation spectrale d'un
modèle de Naghdi pour une
coque mince peu
régulière

Lamjed Lounissi

Présentation du modèle

Preliminaires géométriques

Problème continu

Premier problème variationnel

Existence et unicité

Problème variationnel mixte

Discrétisation par la méthode
spectrale

Outils de la discrétisation

Le problème discret

Mise en œuvre de la
discrétisation

Système matriciel

Résultats numériques

Discrétisation par éléments
spectraux

Notations

Le problème discret

Résultat d'existence et d'unicité

Estimation d'erreur

Conclusions et perspectives

Existence et unicité de la solution

Remark :

Le théorème suivant est une conséquence immédiate des deux propriétés précédentes (d'après V.Girault et P-A.Raviart).

Théorème existence et unicité (C. Bernardi)

Pour tout $(f, M, N) \in H_{\gamma_0}^1(\omega)^{3'} \times H_{00}^{\frac{1}{2}}(\gamma_1)^{3'} \times H_{00}^{\frac{1}{2}}(\gamma_1)^{3'}$, le second problème variationnel admet une solution unique $(U, \psi) \in \mathbb{X}(\omega) \times \mathbb{M}(\omega)$. De plus, cette solution vérifie $\|U\|_{\mathbb{X}(\omega)} + \|\psi\|_{H^1(\omega)} \leq ce^{-3}\|\mathcal{L}\|$.

Discrétisation spectrale d'un
modèle de Naghdi pour une
coque mince peu
régulière

Lamjed Lounissi

Présentation du modèle
Preliminaires géométriques

Problème continu

Premier problème variationnel
Existence et unicité

Problème variationnel mixte

Discrétisation par la méthode
spectrale

Outils de la discrétisation
Le problème discret

Mise en œuvre de la
discrétisation

Système matriciel
Résultats numériques

Discrétisation par éléments
spectraux

Notations
Le problème discret

Résultat d'existence et d'unicité
Estimation d'erreur

Conclusions et perspectives

Convergence

Notation

On note (U^η, ψ^η) la solution du second problème pour une valeur fixe de η et (U, ψ) la solution du même problème pour $\eta = 0$.

Théorème d'estimation

Pour tout $(f, M, N) \in H_{\gamma_0}^1(\omega)^{3'} \times H_{00}^{\frac{1}{2}}(\gamma_1)^{3'} \times H_{00}^{\frac{1}{2}}(\gamma_1)^{3'}$, la propriété de convergence suivante donne

$$\|U^\eta - U\|_{\mathbb{X}(\omega)} + \|\psi^\eta - \psi\|_{\mathbb{M}(\omega)} \leq c\eta e^{-3} \|\mathcal{L}\|.$$

Discretisation spectrale d'un
modèle de Naghdi pour une
coque mince peu
régulière

Lamjed Lounissi

Outils de la discrétisation

Outils

- Le domaine ω est le carré $] - 1, 1[^2$.
- Méthode de Galerkin avec intégration numérique.
- L , M et N sont trois entiers tels que $L \leq N \leq M$.
- On définit les espaces discrets suivants :

$$\mathbb{X}_N = \mathbb{P}_N^{\gamma^0}(\omega)^3 \times \mathbb{P}_N^{\gamma^0}(\omega)^3, \quad \mathbb{M}_N = \mathbb{P}_L^{\gamma^0}(\omega)$$
 où $\mathbb{P}_n^{\gamma^0}(\omega) = \mathbb{P}_n(\omega) \cap H_{\gamma^0}^1(\omega)$

Présentation du modèle
Préliminaires géométriques

Problème continu

Premier problème variationnel
Existence et unicité
Problème variationnel mixte

Discretisation par la méthode
spectrale

Outils de la discrétisation

Le problème discret

Mise en œuvre de la
discrétisation

Système matriciel
Résultats numériques

Discretisation par éléments
spectraux

Notations
Le problème discret

Résultat d'existence et d'unicité
Estimation d'erreur

Conclusions et perspectives

Discretisation spectrale d'un
modèle de Naghdi pour une
coque mince peu
régulière

Lamjed Lounissi

Présentation du modèle
Préliminaires géométriques

Problème continu

Premier problème variationnel
Existence et unicité
Problème variationnel mixte

Discretisation par la méthode
spectrale

Outils de la discrétisation

Le problème discret

Mise en œuvre de la
discrétisation

Système matriciel
Résultats numériques

Discretisation par éléments
spectraux

Notations
Le problème discret

Résultat d'existence et d'unicité
Estimation d'erreur

Conclusions et perspectives

Outils

- Formule de Gauss Lobatto de type Legendre à $M + 1$ points :

$$\forall \Phi \in \mathbb{P}_{2M-1}(-1, 1), \quad \int_{-1}^1 \Phi(\zeta) d\zeta = \sum_{j=0}^M \Phi(\xi_j) \rho_j.$$

- Produit scalaire discret : $(u, v)_M = \sum_{i,j=0}^M u(\xi_i, \xi_j) v(\xi_i, \xi_j) \rho_i \rho_j$

Discretisation spectrale d'un
modèle de Naghdi pour une
coque mince peu
régulière

Lamjed Lounissi

Formes discretes des tenseurs

Les tenseurs

- Tenseur de déformation :

$$\gamma_{\alpha\beta}^N(u_N) = \frac{1}{2}(\partial_\alpha u_N \cdot a_{\beta N} + \partial_\beta u_N \cdot a_{\alpha N})$$
- Tenseur de changement de courbure :

$$\chi_{\alpha\beta}^N(u, r) = \frac{1}{2}(\partial_\alpha u \cdot c_{\beta N} + \partial_\beta u \cdot c_{\alpha N} + \partial_\alpha r \cdot a_{\beta N} + \partial_\beta r \cdot a_{\alpha N})$$
- Tenseur de déformation de cisaillement transverse :

$$\delta_{\alpha 3}^N(u, r) = \frac{1}{2}(\partial_\alpha u \cdot a_{3 N} + r \cdot a_{\alpha N})$$

Présentation du modèle

Préliminaires géométriques

Problème continu

Premier problème variationnel

Existence et unicité

Problème variationnel mixte

Discretisation par la méthode
spectrale

Outils de la discrétisation

Le problème discret

Mise en œuvre de la
discrétisation

Système matriciel

Résultats numériques

Discretisation par éléments
spectraux

Notations

Le problème discret

Résultat d'existence et d'unicité

Estimation d'erreur

Conclusions et perspectives

Discretisation spectrale d'un
modèle de Naghdi pour une
coque mince peu
régulière

Lamjed Lounissi

Présentation du modèle
Préliminaires géométriques

Problème continu

Premier problème variationnel
Existence et unicité
Problème variationnel mixte

Discretisation par la méthode
spectrale

Outils de la discrétisation

Le problème discret

Mise en œuvre de la
discrétisation

Système matriciel
Résultats numériques

Discretisation par éléments
spectraux

Notations
Le problème discret
Résultat d'existence et d'unicité
Estimation d'erreur

Conclusions et perspectives

Remarque

On introduit la $H^1(\omega)$ -projection a_{KN} de chaque a_K sur $\mathbb{P}_N(\omega)^3$,
qui satisfait

$$\begin{aligned} \forall v_N \in \mathbb{P}_N(\omega)^3, \quad (\partial_\alpha a_{KN}, \partial_\alpha v_N) &= \int_\omega (\partial_\alpha a_K) \cdot (\partial_\alpha v_N) dx \\ (a_{KN}, 1)_M &= \int_\omega a_K(x) dx \end{aligned} \quad (4)$$

Discretisation spectrale d'un
modèle de Naghdi pour une
coque mince peu
régulière

Lamjed Lounissi

Formulation discrète

Problème discret

Trouver $(U_N, \psi_N) \in \mathbb{X}_N \times \mathbb{M}_N$ tel que

$$\begin{cases} \forall V_N \in \mathbb{X}_N, \\ \quad a_M(U_N, V_N) + \eta \tilde{a}_M(U_N, V_N) + b_M(V_N, \psi_N) = \mathcal{L}_M(V_N) \\ \forall \chi_N \in \mathbb{M}_N, \quad b_M(U_N, \chi_N) = 0 \end{cases} \quad (5)$$

avec $U_N = (u_N, r_N)$ et $V_N = (v_N, s_N)$.

Présentation du modèle
Préliminaires géométriques

Problème continu

Premier problème variationnel
Existence et unicité
Problème variationnel mixte

Discretisation par la méthode
spectrale

Outils de la discrétisation

Le problème discret

Mise en œuvre de la
discrétisation

Système matriciel
Résultats numériques

Discretisation par éléments
spectraux

Notations

Le problème discret

Résultat d'existence et d'unicité

Estimation d'erreur

Conclusions et perspectives

Discrétisation spectrale d'un
modèle de Naghdi pour une
coque mince peu
régulière

Lamjed Lounissi

Formes bilinéaires et linéaires

Forme bilinéaire 1

$$\begin{aligned}
 a_M(U_N; V_N) = & e(a^{\alpha\beta\rho\sigma}\gamma_{\alpha\beta}^N(u_N), \gamma_{\rho\sigma}^N(v_N)\sqrt{a})_M \\
 & + \frac{e^3}{12}(a^{\alpha\beta\rho\sigma}\chi_{\alpha\beta}^N(U_N), \chi_{\rho\sigma}^N(V_N)\sqrt{a})_M \\
 & + 2e\frac{E}{1+\nu}(a^{\alpha\beta}\delta_{\alpha 3}^N(U_N), \delta_{\beta 3}^N(V_N)\sqrt{a})_M, \quad (6)
 \end{aligned}$$

Présentation du modèle

Préliminaires géométriques

Problème continu

Premier problème variationnel

Existence et unicité

Problème variationnel mixte

Discrétisation par la méthode
spectrale

Outils de la discrétisation

Le problème discret

Mise en œuvre de la
discrétisation

Système matriciel

Résultats numériques

Discrétisation par éléments
spectraux

Notations

Le problème discret

Résultat d'existence et d'unicité

Estimation d'erreur

Conclusions et perspectives

Discrétisation spectrale d'un
modèle de Naghdi pour une
coque mince peu
régulière

Lamjed Lounissi

Présentation du modèle

Préliminaires géométriques

Problème continu

Premier problème variationnel

Existence et unicité

Problème variationnel mixte

Discrétisation par la méthode
spectrale

Outils de la discrétisation

Le problème discret

Mise en œuvre de la
discrétisation

Système matriciel

Résultats numériques

Discrétisation par éléments
spectraux

Notations

Le problème discret

Résultat d'existence et d'unicité

Estimation d'erreur

Conclusions et perspectives

Formes bilinéaires 2

$$\tilde{a}_M(U_N, V_N) = (\partial_\alpha \mathcal{I}_M(r_N \cdot a_{3N}), \partial_\alpha \mathcal{I}_M(s_N \cdot a_{3N}))_M,$$

Formes bilinéaires 3

$$b_M(V_N, \chi_N) = (\partial_\alpha \mathcal{I}_M(s_N \cdot a_{3N}), \partial_\alpha \chi_N)_M.$$

La forme linéaire $\mathcal{L}_M(V_N)$

$$\mathcal{L}_M(V_N) = (f, v_N \sqrt{a})_M + (N, v_N)_M^{\gamma 1} + (M, s_N)_M^{\gamma 1}$$

Discrétisation spectrale d'un
modèle de Naghdi pour une
coque mince peu
régulière

Lamjed Lounissi

Présentation du modèle
Préliminaires géométriques

Problème continu

Premier problème variationnel
Existence et unicité
Problème variationnel mixte

Discrétisation par la méthode
spectrale

Outils de la discrétisation
Le problème discret

Mise en œuvre de la
discrétisation

Système matriciel
Résultats numériques

Discrétisation par éléments
spectraux

Notations
Le problème discret
Résultat d'existence et d'unicité
Estimation d'erreur

Conclusions et perspectives

Existence et unicité de la solution

Propriété de continuité de a_M

\exists une constante c indépendante de N et $M > N$ tel que
 $\forall U_N \in \mathbb{X}_N, \forall V_N \in \mathbb{X}_N |a_M(U_N; V_N)| \leq ce \|U_N\|_{\mathbb{X}(\omega)} \|V_N\|_{\mathbb{X}(\omega)}$

Propriété de continuité de \tilde{a}_M

\exists une constante c indépendante de N et $M > N$ tel que
 $\forall U_N \in \mathbb{X}_N, \forall V_N \in \mathbb{X}_N |\tilde{a}_M(U_N; V_N)| \leq ce \|U_N\|_{\mathbb{X}(\omega)} \|V_N\|_{\mathbb{X}(\omega)}$

Propriété de continuité de b_M

\exists une constante c indépendante de N et $M > N$ tel que
 $\forall V_N \in \mathbb{X}_N, \forall \chi_N \in \mathbb{X}_N |b_M(V_N; \chi_N)| \leq ce \|V_N\|_{H^1(\omega)} \|\chi_N\|_{H^1(\omega)}$

Discrétisation spectrale d'un
modèle de Naghdi pour une
coque mince peu
régulière

Lamjed Lounissi

Présentation du modèle
Preliminaires géométriques

Problème continu

Premier problème variationnel
Existence et unicité
Problème variationnel mixte

Discrétisation par la méthode
spectrale

Outils de la discrétisation

Le problème discret

Mise en œuvre de la
discrétisation

Système matriciel
Résultats numériques

Discrétisation par éléments
spectraux

Notations

Le problème discret

Résultat d'existence et d'unicité

Estimation d'erreur

Conclusions et perspectives

Existence et unicité

Continuité de \mathcal{L}_M

$$\|\mathcal{L}_M\|_N \leq c(\|\mathcal{I}_M f\|_{L^2(\omega)^3} + \|i_M^{\gamma_1} N\|_{L^2(\gamma_1)^3} + \|i_M^{\gamma_1} M\|_{L^2(\gamma_1)^3})$$

Propriété d'ellipticité

$$\forall V_N \in \mathbb{X}_N(\omega), \quad a_M(V_N, V_N) + \eta \tilde{a}_M(V_N, V_N) \geq c_* \min\{e^3, \eta\} \|V_N\|_{\mathbb{X}(\omega)}^2$$

Condition inf-sup

$$\forall \chi \in \mathbb{M}_N(\omega), \quad \sup_{V \in \mathbb{X}_N(\omega)} \frac{b_M(V_N, \chi_N)}{\|V_N\|_{\mathbb{X}_N(\omega)}} \geq c_{\sharp} \|\chi_N\|_{H^1(\omega)}$$

Discrétisation spectrale d'un
modèle de Naghdi pour une
coque mince peu
régulière

Lamjed Lounissi

Présentation du modèle
Préliminaires géométriques

Problème continu

Premier problème variationnel
Existence et unicité
Problème variationnel mixte

Discrétisation par la méthode
spectrale

Outils de la discrétisation

Le problème discret

Mise en œuvre de la
discrétisation

Système matriciel
Résultats numériques

Discrétisation par éléments
spectraux

Notations

Le problème discret

Résultat d'existence et d'unicité
Estimation d'erreur

Conclusions et perspectives

Théorème existence et unicité(C.Bernardi)

Pour N_0 un entier positif, $\forall f$ continue sur $\overline{\omega}$ et (M, N) continues sur $\overline{\Gamma}_1$, et pour $N \geq N_0$. Le problème discret admet une solution unique $(U_N, \psi_N) \in \chi_N \times \mathbb{M}_N$. De plus, cette solution vérifie

$$\|U_N\|_{\mathbb{X}(\omega)} + \|\psi_N\|_{\mathbb{M}(\omega)} \leq ce^{-3}\|\mathcal{L}_M\|_N.$$

Discrétisation spectrale d'un
modèle de Naghdi pour une
coque mince peu
régulière

Lamjed Lounissi

Estimation d'erreur

Théorème d'estimation

$$\|U - U_N\|_{\mathbb{X}(\omega)} \leq c \max\{e^{-3}, \eta^{-1}\} \\ (c(U, \psi) \max\{e, \eta\} N^{1-s} + c(\varphi) N^{1-s_0} (\log N)^{\frac{1}{2}} + c(f, M, N) N^{-s_1}) \quad (7)$$

Idée de la preuve

- Inégalité triangulaire.
- Inégalité inverse des polynômes.
- Injections de Sobolev.
- inégalité de Cauchy Schwartz.

Présentation du modèle

Préliminaires géométriques

Problème continu

Premier problème variationnel

Existence et unicité

Problème variationnel mixte

Discrétisation par la méthode
spectrale

Outils de la discrétisation

Le problème discret

Mise en œuvre de la
discrétisation

Système matriciel

Résultats numériques

Discrétisation par éléments
spectraux

Notations

Le problème discret

Résultat d'existence et d'unicité

Estimation d'erreur

Conclusions et perspectives

Discretisation spectrale d'un
modèle de Naghdi pour une
coque mince peu
régulière

Lamjed Lounissi

Présentation du modèle

Préliminaires géométriques

Problème continu

Premier problème variationnel

Existence et unicité

Problème variationnel mixte

Discretisation par la méthode
spectrale

Outils de la discrétisation

Le problème discret

Mise en œuvre de la
discretisation

Système matriciel

Résultats numériques

Discretisation par éléments
spectraux

Notations

Le problème discret

Résultat d'existence et d'unicité

Estimation d'erreur

Conclusions et perspectives

Système matriciel

On considère les polynômes de Lagrange ℓ_i^* associés aux points ξ_i^* , $0 \leq i \leq N$. Donc la solution du problème discret s'écrit :

$$u_N(x, y) = \sum_{i,j=0}^N u_N(\xi_i^*, \xi_j^*) \ell_i^*(x) \ell_j^*(y)$$

Système matriciel

$$\begin{pmatrix} Q^T(A + \eta \tilde{A})Q & Q^T B^T Q_0 \\ Q_0^T B Q & 0 \end{pmatrix} \begin{pmatrix} U^* \\ \psi^* \end{pmatrix} = \begin{pmatrix} Q^T & 0 \\ 0 & 0 \end{pmatrix} \begin{pmatrix} F \\ 0 \end{pmatrix} \quad (8)$$

Discretisation spectrale d'un
modèle de Naghdi pour une
coque mince peu
régulière

Lamjed Lounissi

Détermination des matrices

La matrice A :

$$AU = eQ_1^T \Gamma^T S_1 \Gamma Q_1 U_1^* + \frac{e^3}{12} Q_2^T \chi^T S_2 \chi Q_2 U^* + \frac{2eE}{1+v} Q_2^T \delta^T S_3 \delta Q_2 U^*$$

Et par la suite on obtient le système suivant :

$$AU = Q^T (A_1^* + A_2^* + A_3^*) QU^*$$

ce qui est sous la forme :

$$AU = Q^T A^* QU^*$$

où

$$A^* = A_1^* + A_2^* + A_3^*$$

Présentation du modèle
Preliminaires géométriques

Problème continu

Premier problème variationnel
Existence et unicité
Problème variationnel mixte

Discretisation par la méthode
spectrale

Outils de la discrétisation
Le problème discret

Mise en œuvre de la
discrétisation

Système matriciel
Résultats numériques

Discretisation par éléments
spectraux

Notations
Le problème discret
Résultat d'existence et d'unicité
Estimation d'erreur

Conclusions et perspectives

Discretisation spectrale d'un
modèle de Naghdi pour une
coque mince peu
régulière

Lamjed Lounissi

La matrice B :

$$B\Psi^0 = Q^T B^* Q_0 \Psi^0$$

La forme linéaire \mathcal{L} :

$$F_1 = Q^T \tilde{B}F + Q^T N + Q^T M$$

Remarque :

Les matrices A^* et B sont de dimension $(6(M+1)^2, 6(M+1)^2)$.

Présentation du modèle

Préliminaires géométriques

Problème continu

Premier problème variationnel

Existence et unicité

Problème variationnel mixte

Discretisation par la méthode
spectrale

Outils de la discrétisation

Le problème discret

Mise en œuvre de la
discrétisation

Système matriciel

Résultats numériques

Discretisation par éléments
spectraux

Notations

Le problème discret

Résultat d'existence et d'unicité

Estimation d'erreur

Conclusions et perspectives

Discrétisation spectrale d'un
modèle de Naghdi pour une
coque mince peu
régulière

Lamjed Lounissi

Présentation du modèle
Préliminaires géométriques

Problème continu
Premier problème variationnel
Existence et unicité
Problème variationnel mixte

Discrétisation par la méthode
spectrale

Outils de la discrétisation
Le problème discret

Mise en œuvre de la
discrétisation

Système matriciel
Résultats numériques

Discrétisation par éléments
spectraux

Notations
Le problème discret
Résultat d'existence et d'unicité
Estimation d'erreur

Conclusions et perspectives

Le deuxième coefficient du tenseur de changement de courbure est
le χ_{12} pour $\alpha = 1$ et $\beta = 2$.

ce qui donne pour $u_N(u_N^1, u_N^2, u_N^3) \in \mathbb{R}^3$, $a_{1N}(a_{1N}^1, a_{1N}^2, a_{1N}^3) \in \mathbb{R}^3$
et $c_{1N}(c_{1N}^1, c_{1N}^2, c_{1N}^3) \in \mathbb{R}^3$

$$\chi_{12}^N(u, r) = \frac{1}{2}(\partial_1 u \cdot c_{2N} + \partial_2 u \cdot c_{1N} + \partial_\alpha r \cdot a_{\beta N} + \partial_\beta r \cdot a_{\alpha N})$$

et aux points de la grille fine on obtient

Discrétisation spectrale d'un
modèle de Naghdi pour une
coque mince peu
régulière

Lamjed Lounissi

Présentation du modèle

Preliminaires géométriques

Problème continu

Premier problème variationnel

Existence et unicité

Problème variationnel mixte

Discrétisation par la méthode
spectrale

Outils de la discrétisation

Le problème discret

Mise en œuvre de la
discrétisation

Système matriciel

Résultats numériques

Discrétisation par éléments
spectraux

Notations

Le problème discret

Résultat d'existence et d'unicité

Estimation d'erreur

Conclusions et perspectives

$$\begin{aligned}
 \chi_{12}^N(U_N)(\xi_r, \xi_s) = & \frac{1}{2} \left[\sum_{i,j,r,s=0}^M u_N^1(\xi_i, \xi_j) \ell_i'(\xi_r) \ell_j(\xi_s) c_{2N}^1(\xi_r, \xi_s) + \sum_{i,j,r,s=0}^M u_N^2(\xi_i, \xi_j) \ell_i'(\xi_r) \ell_j(\xi_s) c_{2N}^2(\xi_r, \xi_s) + \right. \\
 & \sum_{i,j,r,s=0}^M u_N^3(\xi_i, \xi_j) \ell_i'(\xi_r) \ell_j(\xi_s) c_{2N}^3(\xi_r, \xi_s) + \sum_{i,j,r,s=0}^M u_N^1(\xi_i, \xi_j) \ell_i(\xi_r) \ell_j'(\xi_s) c_{1N}^1(\xi_r, \xi_s) \\
 & + \sum_{i,j,r,s=0}^M u_N^2(\xi_i, \xi_j) \ell_i(\xi_r) \ell_j'(\xi_s) c_{1N}^2(\xi_r, \xi_s) + \sum_{i,j,r,s=0}^M u_N^3(\xi_i, \xi_j) \ell_i(\xi_r) \ell_j'(\xi_s) c_{1N}^3(\xi_r, \xi_s) \\
 & + \sum_{i,j,r,s=0}^M r_N^1(\xi_i, \xi_j) \ell_i'(\xi_r) \ell_j(\xi_s) a_{2N}^1(\xi_r, \xi_s) + \sum_{i,j,r,s=0}^M r_N^2(\xi_i, \xi_j) \ell_i'(\xi_r) \ell_j(\xi_s) a_{2N}^2(\xi_r, \xi_s) \\
 & + \sum_{i,j,r,s=0}^M r_N^3(\xi_i, \xi_j) \ell_i'(\xi_r) \ell_j(\xi_s) a_{2N}^3(\xi_r, \xi_s) + \sum_{i,j,r,s=0}^M r_N^1(\xi_i, \xi_j) \ell_i(\xi_r) \ell_j'(\xi_s) a_{1N}^1(\xi_r, \xi_s) \\
 & \left. + \sum_{i,j,r,s=0}^M r_N^2(\xi_i, \xi_j) \ell_i(\xi_r) \ell_j'(\xi_s) a_{1N}^2(\xi_r, \xi_s) + \sum_{i,j,r,s=0}^M r_N^3(\xi_i, \xi_j) \ell_i(\xi_r) \ell_j'(\xi_s) a_{1N}^3(\xi_r, \xi_s) \right]
 \end{aligned}$$

Discretisation spectrale d'un
modèle de Naghdi pour une
coque mince peu
régulière

Lamjed Lounissi

Ecriture matricielle de χ_{12} :

χ_{12} s'écrit sous la forme matricielle suivante :

$$\chi_{12} U = \chi_{12|u}^1 U_1 + \chi_{12|u}^2 U_2 + \chi_{12|u}^3 U_3 + \chi_{12|r}^1 R_1 + \chi_{12|r}^2 R_2 + \chi_{12|r}^3 R_3$$

La matrice $\chi_{12|u}^k$ est de dimension $((M+1)^2, (M+1)^2)$ et qui a
comme terme général

$$\ell'_i(\xi_r) \ell_j(\xi_s) c_{2N}^k(\xi_r, \xi_s) + \ell_i(\xi_r) \ell'_j(\xi_s) c_{1N}^k(\xi_r, \xi_s) \text{ avec } 1 \leq k \leq 3 .$$

Présentation du modèle

Preliminaires géométriques

Problème continu

Premier problème variationnel

Existence et unicité

Problème variationnel mixte

Discretisation par la méthode
spectrale

Outils de la discrétisation

Le problème discret

Mise en œuvre de la
discrétisation

Système matriciel

Résultats numériques

Discretisation par éléments
spectraux

Notations

Le problème discret

Résultat d'existence et d'unicité

Estimation d'erreur

Conclusions et perspectives

Discretisation spectrale d'un
modèle de Naghdi pour une
coque mince peu
régulière

Lamjed Lounissi

Présentation du modèle

Préliminaires géométriques

Problème continu

Premier problème variationnel

Existence et unicité

Problème variationnel mixte

Discretisation par la méthode
spectrale

Outils de la discrétisation

Le problème discret

Mise en œuvre de la
discrétisation

Système matriciel

Résultats numériques

Discretisation par éléments
spectraux

Notations

Le problème discret

Résultat d'existence et d'unicité

Estimation d'erreur

Conclusions et perspectives

La matrice χ_{12} s'écrit alors sous la forme

$$\chi_{12} = \begin{pmatrix} \chi_{12|u}^1 & 0 & 0 & 0 & 0 & 0 \\ 0 & \chi_{12|u}^2 & 0 & 0 & 0 & 0 \\ 0 & 0 & \chi_{12|u}^3 & 0 & 0 & 0 \\ 0 & 0 & 0 & \chi_{12|r}^1 & 0 & 0 \\ 0 & 0 & 0 & 0 & \chi_{12|r}^2 & 0 \\ 0 & 0 & 0 & 0 & 0 & \chi_{12|r}^3 \end{pmatrix}$$

Donc χ_{12} est une matrice carrée de dimension

$$(6(M+1)^2, 6(M+1)^2)$$

avec 0 est la matrice nulle de taille $((M+1)^2, (M+1)^2)$

Discrétisation spectrale d'un
modèle de Naghdi pour une
coque mince peu
régulière

Lamjed Lounissi

Le système global

on utilisant l'algorithme d'Uzawa :

$$\begin{cases} Q^T(A^* + \eta \tilde{A}^*)QU^* + Q^TB^*Q_0\Psi^0 = F_1 \\ Q_0^TB^{*T}QU^* = 0 \end{cases}$$

On multiplie la première équation du système par
 $(Q^T(A^* + \eta \tilde{A}^*)Q)^{-1}$ on trouve

$$U^* = (Q^T(A^* + \eta \tilde{A}^*)Q)^{-1}[F_1 - Q^TB^*Q_0\Psi]$$

Présentation du modèle

Preliminaires géométriques

Problème continu

Premier problème variationnel

Existence et unicité

Problème variationnel mixte

Discrétisation par la méthode
spectrale

Outils de la discrétisation

Le problème discret

Mise en œuvre de la
discrétisation

Système matriciel

Résultats numériques

Discrétisation par éléments
spectraux

Notations

Le problème discret

Résultat d'existence et d'unicité

Estimation d'erreur

Conclusions et perspectives

Discrétisation spectrale d'un
modèle de Naghdi pour une
coque mince peu
régulière

Lamjed Lounissi

$$Q_0^T B^{*T} (A^* + \eta \tilde{A}^*)^{-1} B^* Q_0 \Psi^0 = Q_0^T B^{*T} (A^* + \eta \tilde{A}^*)^{-1} \tilde{B} F \quad (9)$$

On remarque que le système peut s'écrire sous la forme

$$\mathcal{A} \Psi^0 = \mathcal{F} \quad (10)$$

Présentation du modèle
Préliminaires géométriques

Problème continu

Premier problème variationnel
Existence et unicité
Problème variationnel mixte

Discrétisation par la méthode
spectrale

Outils de la discrétisation
Le problème discret

Mise en œuvre de la
discrétisation

Système matriciel
Résultats numériques

Discrétisation par éléments
spectraux

Notations
Le problème discret
Résultat d'existence et d'unicité
Estimation d'erreur

Conclusions et perspectives

Discretisation spectrale d'un
modèle de Naghdi pour une
coque mince peu
régulière

Lamjed Lounissi

Présentation du modèle
Préliminaires géométriques

Problème continu

Premier problème variationnel
Existence et unicité
Problème variationnel mixte

Discretisation par la méthode
spectrale

Outils de la discrétisation
Le problème discret

Mise en œuvre de la
discrétisation

Système matriciel
Résultats numériques

Discretisation par éléments
spectraux

Notations
Le problème discret
Résultat d'existence et d'unicité
Estimation d'erreur

Conclusions et perspectives

Résultats numériques

Paraboloïde hyperbolique encastré sous pression uniforme

- La carte est définie par

$$\phi(x, y) = (x, y, \frac{c}{2b^2}(x^2 - y^2))^T,$$

où $b = 50$ cm et $c = 10$ cm

- La coque est encastrée sur $\partial\omega$ et soumise à une pression uniforme $q = 0,01 \text{ kp/cm}^2$. Les données mécaniques sont $E = 2.85104 \text{ kp/cm}^2$, $\mu = 0,4$;
- L'épaisseur de la coque est $e = 0,8$ cm.
- La valeur de référence pour ce test est $-0,024$ cm.

Discretisation spectrale d'un
modèle de Naghdi pour une
coque mince peu
régulière

Lamjed Lounissi

Présentation du modèle

Preliminaires géométriques

Problème continu

Premier problème variationnel

Existence et unicité

Problème variationnel mixte

Discretisation par la méthode
spectrale

Outils de la discrétisation

Le problème discret

Mise en œuvre de la
discrétisation

Système matriciel

Résultats numériques

Discretisation par éléments
spectraux

Notations

Le problème discret

Résultat d'existence et d'unicité

Estimation d'erreur

Conclusions et perspectives

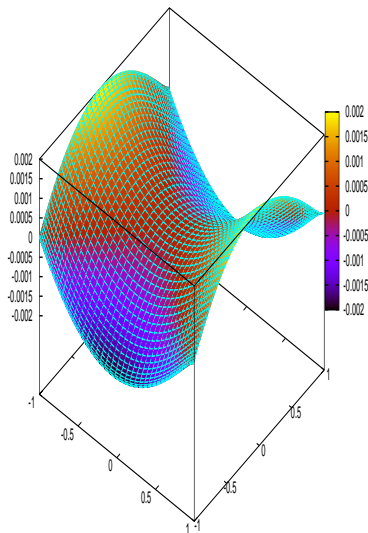


FIGURE: une paraboloid

Discretisation spectrale d'un
modèle de Naghdi pour une
coque mince peu
régulière

Lamjed Lounissi

Présentation du modèle

Preliminaires géométriques

Problème continu

Premier problème variationnel

Existence et unicité

Problème variationnel mixte

Discretisation par la méthode
spectrale

Outils de la discrétisation

Le problème discret

Mise en œuvre de la
discrétisation

Système matriciel

Résultats numériques

Discretisation par éléments
spectraux

Notations

Le problème discret

Résultat d'existence et d'unicité

Estimation d'erreur

Conclusions et perspectives

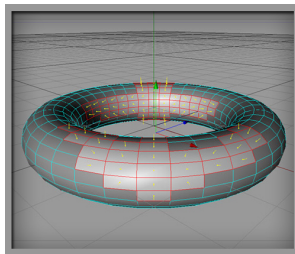


FIGURE: un tore

Ce tore est paramétré comme suit :

$$\phi(x, y) = ((a - b \cos x) \cos y, (a - b \cos x) \sin y, b \sin x)$$

Discrétisation spectrale d'un
modèle de Naghdi pour une
coque mince peu
régulière

Lamjed Lounissi

Notations

Outils

- La décomposition de domaine comfore est sans recouvrement en un nombre fini de sous-domaine ouverts ω_k d'interieur non vide, au sens suivant :

$$\bar{\omega} = \bigcup_{k=1}^K \bar{\omega}_k \quad \text{et} \quad \omega_k \cap \omega_{k'} = \emptyset, \quad 1 \leq k < k' \leq K$$

- Le produit scalaire discret :

$$(u, v)_N = \sum_{k=1}^K \left(\sum_{i,j} u \circ \mathbf{F}_k(\xi_i, \xi_j) v \circ \mathbf{F}_k(\xi_i, \xi_j) \frac{\text{mes}(\omega_k)}{4} \right)$$

Présentation du modèle
Preliminaires géométriques

Problème continu

Premier problème variationnel
Existence et unicité
Problème variationnel mixte

Discrétisation par la méthode
spectrale

Outils de la discrétisation
Le problème discret

Mise en œuvre de la
discrétisation

Système matriciel
Résultats numériques

Discrétisation par éléments
spectraux

Notations

Le problème discret
Résultat d'existence et d'unicité
Estimation d'erreur

Conclusions et perspectives

Discretisation spectrale d'un
modèle de Naghdi pour une
coque mince peu
régulière

Lamjed Lounissi

Formulation discrète

Problème discret

Trouver $(U_N, \psi_N) \in \mathcal{X}_N \times \mathcal{M}_N$ tel que

$$\begin{cases} \forall V_N \in \mathcal{X}_N, \\ \mathcal{A}_M(U_N, V_N) + \eta \tilde{\mathcal{A}}_M(U_N, V_N) + \mathcal{B}_M(V_N, \psi_N) = \mathcal{L}_M(V_N) \\ \forall \chi_N \in \mathcal{M}_N, \quad b_M(U_N, \chi_N) = 0 \end{cases} \quad (11)$$

avec $U_N = (u_N, r_N)$ et $V_N = (v_N, s_N)$.

Présentation du modèle
Préliminaires géométriques

Problème continu

Premier problème variationnel
Existence et unicité
Problème variationnel mixte

Discretisation par la méthode
spectrale

Outils de la discrétisation
Le problème discret

Mise en œuvre de la
discrétisation

Système matriciel
Résultats numériques

Discretisation par éléments
spectraux

Notations

Le problème discret

Résultat d'existence et d'unicité
Estimation d'erreur

Conclusions et perspectives

Discrétisation spectrale d'un
modèle de Naghdi pour une
coque mince peu
régulière

Lamjed Lounissi

$$\bullet \mathcal{A}_M(U_N, V_N) = \sum_{k=1}^K a_M^k(U_{N|\omega_k}, V_{N|\omega_k})$$

$$\bullet \tilde{\mathcal{A}}_M(U_N, V_N) = \sum_{k=1}^K \tilde{a}_M^k(U_{N|\omega_k}, V_{N|\omega_k})$$

$$\bullet \mathcal{B}_M(V_N, \psi_N) = \sum_{k=1}^K b_M^k(V_{N|\omega_k}, \psi_{N|\omega_k})$$

$$\bullet \mathcal{L}_M(V_N) = \sum_{k=1}^K \mathcal{L}_M^k(V_{N|\omega_k})$$

Présentation du modèle

Préliminaires géométriques

Problème continu

Premier problème variationnel

Existence et unicité

Problème variationnel mixte

Discrétisation par la méthode
spectrale

Outils de la discrétisation

Le problème discret

Mise en œuvre de la
discrétisation

Système matriciel

Résultats numériques

Discrétisation par éléments
spectraux

Notations

Le problème discret

Résultat d'existence et d'unicité

Estimation d'erreur

Conclusions et perspectives

Discretisation spectrale d'un
modèle de Naghdi pour une
coque mince peu
régulière

Lamjed Lounissi

Formes bilinéaires

Présentation du modèle

Préliminaires géométriques

Problème continu

Premier problème variationnel

Existence et unicité

Problème variationnel mixte

Discretisation par la méthode
spectrale

Outils de la discrétisation

Le problème discret

Mise en œuvre de la
discrétisation

Système matriciel

Résultats numériques

Discretisation par éléments
spectraux

Notations

Le problème discret

Résultat d'existence et d'unicité

Estimation d'erreur

Conclusions et perspectives

$$\begin{aligned} \mathcal{A}((u, r); (v, s)) &= \int_{\omega} \left\{ e a^{\alpha\beta\rho\sigma} \left[\gamma_{\alpha\beta}(u) \gamma_{\rho\sigma}(v) + \frac{e^2}{12} \chi_{\alpha\beta}(u, r) \chi_{\rho\sigma}(v, s) \right] \right. \\ &\quad \left. + 2e \frac{E}{1+\nu} a^{\alpha\beta} \delta_{\alpha 3}(u, r) \delta_{\beta 3}(v, s) \right\} \sqrt{a} \, dx \\ &= \sum_{k=1}^K \int_{\omega_k} \left\{ e a^{\alpha\beta\rho\sigma} \left[\gamma_{\alpha\beta}(u|\omega_k) \gamma_{\rho\sigma}(v|\omega_k) + \frac{e^2}{12} \chi_{\alpha\beta}(u|\omega_k, r|\omega_k) \chi_{\rho\sigma}(v|\omega_k, s|\omega_k) \right] \right. \\ &\quad \left. + 2e \frac{E}{1+\nu} a^{\alpha\beta} \delta_{\alpha 3}(u|\omega_k, r|\omega_k) \delta_{\beta 3}(v|\omega_k, s|\omega_k) \right\} \sqrt{a} \, dx \end{aligned}$$

Discretisation spectrale d'un
modèle de Naghdi pour une
coque mince peu
régulière

Lamjed Lounissi

Présentation du modèle
Préliminaires géométriques

Problème continu

Premier problème variationnel
Existence et unicité
Problème variationnel mixte

Discretisation par la méthode
spectrale

Outils de la discrétisation
Le problème discret

Mise en œuvre de la
discrétisation

Système matriciel
Résultats numériques

Discretisation par éléments
spectraux

Notations

Le problème discret

Résultat d'existence et d'unicité
Estimation d'erreur

Conclusions et perspectives

$$\tilde{\mathcal{A}}(U, V) = \int_{\omega} \partial_{\alpha}(r \cdot a_3) \partial_{\alpha}(s \cdot a_3) dx = \sum_{k=1}^K \int_{\omega_k} \partial_{\alpha}(r|_{\omega_k} \cdot a_3) \partial_{\alpha}(s|_{\omega_k} \cdot a_3) dx$$

et

$$\mathcal{B}(V, \chi) = \int_{\omega} \partial_{\alpha}(s \cdot a_3) \partial_{\alpha} \chi dx = \sum_{k=1}^K \int_{\omega_k} \partial_{\alpha}(s|_{\omega_k} \cdot a_3) \partial_{\alpha} \chi dx$$

Discrétisation spectrale d'un
modèle de Naghdi pour une
coque mince peu
régulière

Lamjed Lounissi

Présentation du modèle
Préliminaires géométriques

Problème continu

Premier problème variationnel
Existence et unicité
Problème variationnel mixte

Discrétisation par la méthode
spectrale

Outils de la discrétisation
Le problème discret

Mise en œuvre de la
discrétisation

Système matriciel
Résultats numériques

Discrétisation par éléments
spectraux

Notations
Le problème discret

Résultat d'existence et d'unicité
Estimation d'erreur

Conclusions et perspectives

Résultat d'existence et d'unicité

Théorème existence et unicité

Pour N_0 un entier positif, $\forall f$ continue sur $\overline{\omega}$ et (M, N) continues sur $\overline{\Gamma}_1$, et pour $N \geq N_0$. Le problème discret admet une solution unique $(U_N, \psi_N) \in \chi_N \times \mathcal{M}_N$.

Discrétisation spectrale d'un
modèle de Naghdi pour une
coque mince peu
régulière

Lamjed Lounissi

Présentation du modèle
Préliminaires géométriques

Problème continu
Premier problème variationnel
Existence et unicité
Problème variationnel mixte

Discrétisation par la méthode
spectrale
Outils de la discrétisation
Le problème discret

Mise en œuvre de la
discrétisation
Système matriciel
Résultats numériques

Discrétisation par éléments
spectraux
Notations
Le problème discret
Résultat d'existence et d'unicité
Estimation d'erreur

Conclusions et perspectives

Continuité

- Il existe une constante c indépendante de N et $M \geq N$ tels que la propriété de continuité suivante donne

$$\forall U_N \in \mathcal{X}_N, \forall V_N \in \mathcal{X}_N, \quad |\mathcal{A}_M(U_N; V_N)| \leq c \|U_N\|_{\mathcal{X}(\omega)} \|V_N\|_{\mathcal{X}(\omega)}$$

-

$$\forall U_N \in \mathcal{X}_N, \forall V_N \in \mathcal{X}_N, \quad |\tilde{\mathcal{A}}_M(U_N; V_N)| \leq c \|U_N\|_{\mathcal{X}(\omega)} \|V_N\|_{\mathcal{X}(\omega)}$$

-

$$\forall V_N \in \mathcal{X}_N, \forall \chi_N \in \mathcal{M}_N, \quad |\mathcal{B}_M(V_N; \chi_N)| \leq c \|V_N\|_{\mathcal{X}(\omega)} \|\chi_N\|_{H^1(\omega)}$$

Discrétisation spectrale d'un
modèle de Naghdi pour une
coque mince peu
régulière

Lamjed Lounissi

Présentation du modèle

Préliminaires géométriques

Problème continu

Premier problème variationnel

Existence et unicité

Problème variationnel mixte

Discrétisation par la méthode
spectrale

Outils de la discrétisation

Le problème discret

Mise en œuvre de la
discrétisation

Système matriciel

Résultats numériques

Discrétisation par éléments
spectraux

Notations

Le problème discret

Résultat d'existence et d'unicité

Estimation d'erreur

Conclusions et perspectives

Ellipticité

Proposition

Il existe un entier positif N_* et une constante positive \tilde{c}_* tels que, pour tout $N \geq N_*$ et tels que pour $1 \leq k \leq K$, $\text{mes}(w_k \cap \gamma_0) > 0$, la propriété d'ellipticité suivante donne

$$\forall \mathbb{V}_N \in \mathcal{X}_N(\omega), \quad \mathcal{A}_M(V_N, V_N) + \eta \tilde{\mathcal{A}}_M(V_N, V_N) \geq \tilde{c}_* \min\{e^3, \eta\} \|V_N\|^2$$

Idee de la preuve : on utilise l'inégalité de Poincaré-Friedrichs.

Discrétisation spectrale d'un
modèle de Naghdi pour une
coque mince peu
régulière

Lamjed Lounissi

Proposition

$$\|U - U_N\|_{\mathcal{X}(\omega)} \leq c \max\{e^{-3}, \eta^{-1}\}$$

$$\left(\inf_{W_N \in \mathbb{V}_N} (\max\{e, \eta\} \|U - W_N\|_{\mathcal{X}(\omega)}) + \sup_{V_N \in \mathcal{X}_N} \frac{E_M^A(W_N; V_N) + \eta \tilde{E}_M^A(W_N; V_N)}{\|V_N\|_{\mathcal{X}(\omega)}} \right. \\ \left. + \inf_{\chi_N \in \mathcal{M}_N} (\|\psi - \chi_N\|_{H^1(\omega)}) + \sup_{V_N \in \mathcal{X}_N} \frac{E_M^B(V_N; \chi_N)}{\|V_N\|_{\mathcal{X}(\omega)}} \right) \\ \left. + \sup_{V_N \in \mathcal{X}_N} \frac{E_M^{\mathcal{L}}(V_N; \chi_N)}{\|V_N\|_{\mathcal{X}(\omega)}} \right)$$

Présentation du modèle

Préliminaires géométriques

Problème continu

Premier problème variationnel

Existence et unicité

Problème variationnel mixte

Discrétisation par la méthode
spectrale

Outils de la discrétisation

Le problème discret

Mise en œuvre de la
discrétisation

Système matriciel

Résultats numériques

Discrétisation par éléments
spectraux

Notations

Le problème discret

Résultat d'existence et d'unicité

Estimation d'erreur

Conclusions et perspectives

Discrétisation spectrale d'un
modèle de Naghdi pour une
coque mince peu
régulière

Lamjed Lounissi

où les quatres quantités $E_M^{\mathcal{A}}$, $\tilde{E}_M^{\mathcal{A}}$, $E_M^{\mathcal{B}}$ et $E_M^{\mathcal{L}}$ sont définis par

$$E_M^{\mathcal{A}}(W_N; V_N) = (\mathcal{A} - \mathcal{A}_M)(W_N; V_N), \quad \tilde{E}_M^{\mathcal{A}}(W_N; V_N) = (\tilde{\mathcal{A}} - \tilde{\mathcal{A}}_M)(W_N; V_N),$$

$$E_M^{\mathcal{B}}(V_N; \chi_N) = (\mathcal{B} - \mathcal{B}_M)(V_N; \chi_N), \quad E_M^{\mathcal{L}}(V_N) = (\mathcal{L} - \mathcal{L}_M)(V_N).$$

Présentation du modèle
Préliminaires géométriques

Problème continu

Premier problème variationnel
Existence et unicité
Problème variationnel mixte

Discrétisation par la méthode
spectrale

Outils de la discrétisation
Le problème discret

Mise en œuvre de la
discrétisation

Système matriciel
Résultats numériques

Discrétisation par éléments
spectraux

Notations
Le problème discret
Résultat d'existence et d'unicité

Estimation d'erreur

Conclusions et perspectives

Discrétisation spectrale d'un
modèle de Naghdi pour une
coque mince peu
régulière

Lamjed Lounissi

Présentation du modèle

Préliminaires géométriques

Problème continu

Premier problème variationnel

Existence et unicité

Problème variationnel mixte

Discrétisation par la méthode
spectrale

Outils de la discrétisation

Le problème discret

Mise en œuvre de la
discrétisation

Système matriciel

Résultats numériques

Discrétisation par éléments
spectraux

Notations

Le problème discret

Résultat d'existence et d'unicité

Estimation d'erreur

Conclusions et perspectives

Lemme

Pour tout entier $N \geq N_{\sharp\sharp}$, il existe une constante c indépendante de N tel que, pour tout U dans $\mathcal{V}(\omega)$,

$$\inf_{W_N \in \mathcal{V}_N} \|U - W_N\|_{\mathcal{X}(\omega)} \leq c \inf_{Z_N \in \mathcal{X}_N} \left(\sum_{k=1}^K \|U - Z_N\|_{\mathcal{X}(\omega_k)} + \sup_{w_N \in \mathcal{M}_N} \frac{E_M^b(Z_N; w_N)}{\|w_N\|_{H^1(\omega)}} \right).$$

Discrétisation spectrale d'un
modèle de Naghdi pour une
coque mince peu
régulière

Lamjed Lounissi

Présentation du modèle
Preliminaires géométriques

Problème continu

Premier problème variationnel
Existence et unicité
Problème variationnel mixte

Discrétisation par la méthode
spectrale

Outils de la discrétisation
Le problème discret

Mise en œuvre de la
discrétisation

Système matriciel
Résultats numériques

Discrétisation par éléments
spectraux

Notations
Le problème discret
Résultat d'existence et d'unicité
Estimation d'erreur

Conclusions et perspectives

Lemme

Il existe une constante c qui dépend uniquement de la norme de a_α dans $H^{s_0}(\omega_k)^3$ et de a_3 dans $H^{s_0+1}(\omega_k)^3$ tel que

$$\forall W_N \in \mathcal{X}_N, \quad \sup_{V_N \in \mathcal{X}_N} \frac{E_M^A(W_N; V_N)}{\|V_N\|_{\mathcal{X}(\omega)}} \leq c e N^{1-s_0} (\log N)^{\frac{1}{2}} \sum_{k=1}^K \|W_N\|_{\mathcal{X}(\omega_k)} \quad (12)$$

Discretisation spectrale d'un
modèle de Naghdi pour une
coque mince peu
régulière

Lamjed Lounissi

Présentation du modèle

Préliminaires géométriques

Problème continu

Premier problème variationnel

Existence et unicité

Problème variationnel mixte

Discretisation par la méthode
spectrale

Outils de la discrétisation

Le problème discret

Mise en œuvre de la
discrétisation

Système matriciel

Résultats numériques

Discretisation par éléments
spectraux

Notations

Le problème discret

Résultat d'existence et d'unicité

Estimation d'erreur

Conclusions et perspectives

Lemme

Il existe une constante c qui dépend uniquement de la norme de a_3 dans $H^{s_0}(\omega_k)^3$ tel que

$$\forall W_N \in \mathcal{X}_N, \quad \sup_{V_N \in \mathcal{X}_N} \frac{\tilde{E}_M^a(W_N; V_N)}{\|V_N\|_{\mathcal{X}(\omega)}} \leq c N^{-s_0} (\log N)^{\frac{1}{2}} \sum_{k=1}^K \|W_N\|_{\mathcal{X}(\omega_k)}. \quad (13)$$

Discrétisation spectrale d'un
modèle de Naghdi pour une
coque mince peu
régulière

Lamjed Lounissi

Présentation du modèle

Préliminaires géométriques

Problème continu

Premier problème variationnel

Existence et unicité

Problème variationnel mixte

Discrétisation par la méthode
spectrale

Outils de la discrétisation

Le problème discret

Mise en œuvre de la
discrétisation

Système matriciel

Résultats numériques

Discrétisation par éléments
spectraux

Notations

Le problème discret

Résultat d'existence et d'unicité

Estimation d'erreur

Conclusions et perspectives

Lemme

Il existe une constante c qui dépend uniquement de la norme de a_3 dans $H^{s_0}(\omega)^3$ tel que

$$\forall \chi_N \in \mathcal{M}_N, \quad \sup_{V_N \in \mathcal{X}_N} \frac{E_M^b(V_N; \chi_N)}{\|V_N\|_{\mathcal{X}(\omega)}} \leq cN^{-s_0} (\log N)^{\frac{1}{2}} \sum_{k=1}^K \|\chi_N\|_{H^1(\omega_k)}, \quad (14)$$

et

$$\forall Z_N \in \mathcal{M}_N, \quad \sup_{V_N \in \mathcal{X}_N} \frac{E_M^b(Z_N; w_N)}{\|w_N\|_{H^1(\omega)}} \leq cN^{-s_0} (\log N)^{\frac{1}{2}} \sum_{k=1}^K \|\chi_N\|_{\mathcal{X}(\omega_k)}, \quad (15)$$

Discrétisation spectrale d'un
modèle de Naghdi pour une
coque mince peu
régulière

Lamjed Lounissi

Présentation du modèle

Preliminaires géométriques

Problème continu

Premier problème variationnel

Existence et unicité

Problème variationnel mixte

Discrétisation par la méthode
spectrale

Outils de la discrétisation

Le problème discret

Mise en œuvre de la
discrétisation

Système matriciel

Résultats numériques

Discrétisation par éléments
spectraux

Notations

Le problème discret

Résultat d'existence et d'unicité

Estimation d'erreur

Conclusions et perspectives

Lemme

Supposons que les données (f, N, M) appartiennent à $H^{s_1}(\omega)^3 \times H^{s_1}(\gamma_1)^3 \times H^{s_1}(\gamma_1)^3$ pour un nombre réel $s > 1$. Il existe une constante \tilde{c} qui dépend uniquement de la norme de a_3 dans $H^{s_0}(\omega)^3$ tel que

$$\sup_{V_N \in \mathcal{X}_N} \frac{E_M^L(V_N)}{\|V_N\|_{\mathcal{X}(\omega)}} \leq c(\tilde{c}N^{1-s_0}(\log N)^{\frac{1}{2}} + c(f, N, M)N^{-s_1}), \quad (16)$$

où la quantité $c(f, N, M)$ est définie par

$$c(f, N, M) = \sum_{k=1}^K \|f\|_{H^{s_1}(\omega_k)^3} + \|N\|_{H^{s_1}(\gamma_1)^3} + \|M\|_{H^{s_1}(\gamma_1)^3} \quad (17)$$

Discretisation spectrale d'un
modèle de Naghdi pour une
coque mince peu
régulière

Lamjed Lounissi

Présentation du modèle
Préliminaires géométriques

Problème continu

Premier problème variationnel
Existence et unicité
Problème variationnel mixte

Discretisation par la méthode
spectrale

Outils de la discrétisation
Le problème discret

Mise en œuvre de la
discrétisation

Système matriciel
Résultats numériques

Discretisation par éléments
spectraux

Notations
Le problème discret
Résultat d'existence et d'unicité
Estimation d'erreur

Conclusions et perspectives

Théorème d'estimation

Supposons que :

- (i) la solution (U, ψ) du problème discret appartient à $H^S(\omega)^{3 \times 3} \times H^S(\omega)$ et telle que chaque $(U|_{\omega_k}, \psi|_{\omega_k})$, $1 \leq k \leq K$, appartienne à $H^{S_k}(\omega_k)^{3 \times 3} \times H^{S_k}(\omega_k)$ pour un nombre réel $S_k \geq 1$,
 (ii) les données $(f|_{\omega_k}, N|_{\omega_k}, M|_{\omega_k})$ appartiennent à $H^{s_{1k}}(\omega_k)^3 \times H^{s_{1k}}(\gamma_1)^3 \times H^{s_{1k}}(\gamma_1)^3$ pour un nombre réel $s_{1k} > 1$.
 Alors, pour tout entier $N \geq N_0$, l'estimation d'erreur suivante entre la solution (U, ψ) et la solution (U_N, ψ_N) du problème discret

$$\|U - U_N\|_{\mathcal{X}(\omega)} \leq c \max\{e^{-3}, \eta^{-1}\} \\ (c(U, \psi) \max\{e, \eta\} N^{1-s} + c(\varphi) N^{1-s_0} (\log N)^{\frac{1}{2}} + c(f, M, N) N^{-s_1})$$

où la quantité $c(U, \psi)$ est définie par

$$c(U, \psi) = \sum_{k=1}^K \|U\|_{H^S(\omega_k)^{3 \times 3}} + \sum_{k=1}^K \|\psi\|_{H^S(\omega_k)},$$

Discrétisation spectrale d'un
modèle de Naghdi pour une
coque mince peu
régulière

Lamjed Lounissi

Présentation du modèle
Préliminaires géométriques

Problème continu

Premier problème variationnel
Existence et unicité
Problème variationnel mixte

Discrétisation par la méthode
spectrale

Outils de la discrétisation
Le problème discret

Mise en œuvre de la
discrétisation

Système matriciel
Résultats numériques

Discrétisation par éléments
spectraux

Notations
Le problème discret
Résultat d'existence et d'unicité

Estimation d'erreur

Conclusions et perspectives

Remarque

L'erreur entre la solution du problème initial et de U_N un élément de solution (U_N, ψ_N) du problème discret, est de l'ordre

$$\eta e^{-3} + \max\{e^{-3}, \eta^{-1}\} \max\{eN^{1-S}, \eta N^{1-S}, N^{1-s_0}(\log)^{\frac{1}{2}}, N^{-s_1}\}.$$

Discrétisation spectrale d'un modèle de Naghdi pour une coque mince peu régulière

Lamjed Lounissi

Présentation du modèle

Préliminaires géométriques

Problème continu

Premier problème variationnel

Existence et unicité

Problème variationnel mixte

Discrétisation par la méthode spectrale

Outils de la discrétisation

Le problème discret

Mise en œuvre de la discrétisation

Système matriciel

Résultats numériques

Discrétisation par éléments spectraux

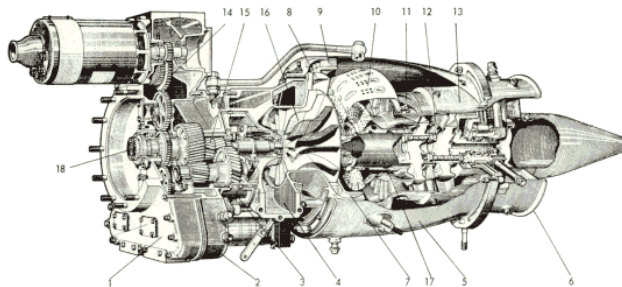
Notations

Le problème discret

Résultat d'existence et d'unicité

Estimation d'erreur

Conclusions et perspectives



LEGENDE

Parties fixes extérieures

- 1 - Couverture du carter d'accessoires
- 2 - Carter d'accessoires
- 3 - Carter réducteur
- 4 - Carter compresseur
- 5 - Carter turbine
- 6 - Diffuseur de sortie

Parties fixes intérieures

- 7 - Couverture des diffuseurs
- 8 - Diffuseur radial
- 9 - Diffuseur axial
- 10 - Chambre de combustion
- 11 - Distributeur 1er étage
- 12 - Distributeur 2ème étage
- 13 - Anneau de turbine

Parties mobiles

- 14 - Chaînes des accessoires
- 15 - Réducteur de vitesse
- 16 - Compresseur centrifuge
- 17 - Ensemble tournant
- 18 - Prise de mouvement

FIGURE: Une turbone